

RXTE衛星によるブラックホール天体GRO J1655-40のX線解析

X-ray analysis of GRO J1655-40 with RXTE

X線天文学研究室 BP18088 畑野 郁弥 指導教員：久保田 あや 教授

1 研究の背景と目的

ブラックホールとは、強い重力により光も脱出できない天体である。光を発しないため直接的な観測を行うことは不可能である。しかし、通常の恒星と近接連星系をなしているブラックホールの場合、相手の星から落ち込むガスが、ガス円盤(降着円盤)を形成しX線を放射する。そのガスが落ち込む際、摩擦によって高温になり、X線などの電磁波が放射されることによってブラックホールが観測できる(文献[1])。

ブラックホール連星は特徴的なX線スペクトルと時間変動を示す。準周期振動(Quasi-Periodic Oscillation; QPO)は、振動の周期が一定でなかったり位相の揃わない振動が短時間に次々現れる時間変動の特徴である。本研究ではX線天文衛星(Rossi X-Ray Timing Explore; RXTE)(文献[2])で観測された連星系ブラックホール GRO J1655-40 の時間変動とスペクトルデータを解析し QPO の発生を降着円盤のスペクトルと比較し、その発生メカニズムに迫ることを目的とする。

2 GRO J1655-40 の観測

GRO J1655-40 は、1994年7月27日に発見されたブラックホールX線連星である。質量は太陽質量の約7倍であり(文献[3])、地球からの距離は $3.2 \pm 0.2\text{kpc}$ ($9.9 \times 10^{16}\text{km}$)である(文献[4])。また、超光速の電波ジェットやQPOも報告されている。GRO J1655-40 は、1996年の初めにアウトバースト(急な天体の増光現象)が休止状態になったが、1996年4月25日に2回目のアウトバーストが始まり、16ヶ月間続いた(文献[5])。この爆発の間、RXTE衛星による72回の観測データを研究に使用した。また、RXTE衛星には、全天観測装置(ASM)、比例計数管(PCA)、高エネルギー側(HEXTE)、これら3つの観測機器が搭載されている。

明るさの長時間変化を調べるために、RXTE/ASMで得られたデータから、GRO J1655-40のライトカーブと硬度比(HR)を作成した。ライトカーブとはX線強度を時間の関数としてプロットしたものであり、横軸がMJD(修正ユリウス日)、縦軸がcounts/sである。図1(上)は1.5-12keVのライトカーブ、図1(下)は硬度比、3.0-5.0keV(中帶域)/1.5-3.0keV(低帶域)を示す。これは、低帯域を基準とし、中帯域のX線が含まれている量を表す。

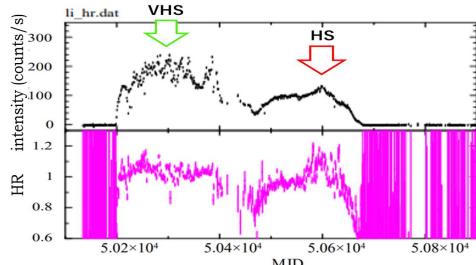


図1: MJD50100~50900のライトカーブ(上)と硬度比(下)

3 スペクトルの特徴

ブラックホール連星の降着円盤は質量降着率 \dot{M} によって異なる状態を示す。 \dot{M} が高い時には密度が高く、幾何学的に薄い降着円盤がブラックホールの近傍まで発達したHigh State(HS)となり、 \dot{M} が低い時の降着円盤はブラックホールから遠方に後退し、内側には密度が低く高温(kT_e が数10~100keV)のガス雲を形成するLow State(LS)となることが知られている(文献[1])。

今回解析したGRO J1655-40の3-200keVのデータはいずれも \dot{M} が高く、円盤が発達した状態であったが、 \dot{M} が特に高い場合、円盤の上にさらに高温のコロナ(温度10keV程度)が存在することが観測からわかっている(文献[6])。この状態はVery High State(VHS)とよび、通常のHSと区別される。図2のMJD50200~50400ではVHSが、MJD50400~50700ではHSが実現している(文献[6])。

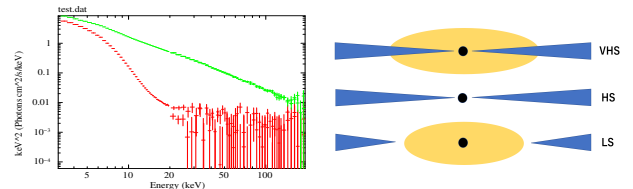


図2: X線スペクトル[VHS: 緑(MJD 50296), HS: 赤(MJD 50588)](左)と円盤の状態(右)

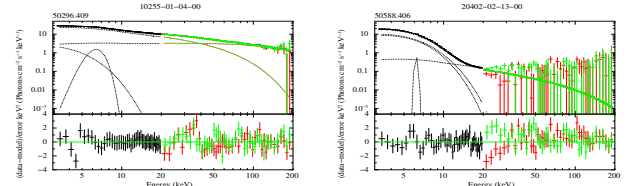


図3: X線スペクトルのフィット結果(3-200keV) MJD 50296(左) MJD 50588(右)

図2(左)は図1に矢印で示したRXTEの観測によるPCAとHEXTEで得られたX線スペクトルである。

図3は図2のスペクトルを円盤(diskbbモデル(文献[7]))と高温コロナによる逆コンプトン散乱放射(nthcompモデル(文献[7])))、および鉄の輝線(gaussianモデル)に星間吸収(tbabsモデル)をかけて評価した結果である。図2のVHS(緑)が図3(左)、HS(赤)が図3(右)に対応しており、VHSではHSに比べて高エネルギーのX線光子の量が多いことがわかる。ここから、スペクトルの変化を定量化するため、diskbbの物理量である円盤内縁部の温度 kT_{in} 、nthcompの物理量であるコロナの温度 kT_e と光子指数 Γ を求めた。

図4は横軸に各観測の観測日をMJDで、縦軸にスペクトルパラメータを示した。ここから、fluxと円盤温度が後半の観測日になると、徐々に下がっていることがわかる。

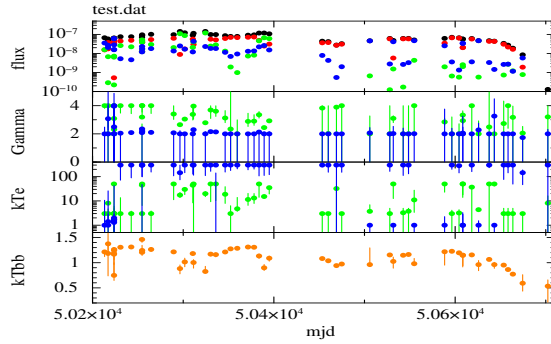


図 4: X 線スペクトルの時系列パラメータ変化(上から flux[total]: 黒, disk: 赤, nthc1: 緑, nthc2: 青], 光子指数, コロナ温度, 円盤温度)

4 時間変動解析

RXTE/PCA から得られたデータを、NASA の ftools の POWSPEC(文献 [8]) を用いてライトカーブをフーリエ変換し、パワースペクトルを作成した。全 72 観測から 11 観測で QPO が見られた。

図 5 は、図 3 と同じ日付のパワースペクトルであり、QPO の見られた観測(左)と見られなかった観測(右)である。

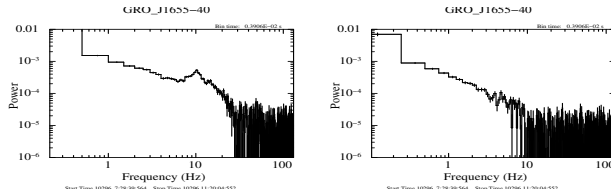


図 5: 作成したパワースペクトル

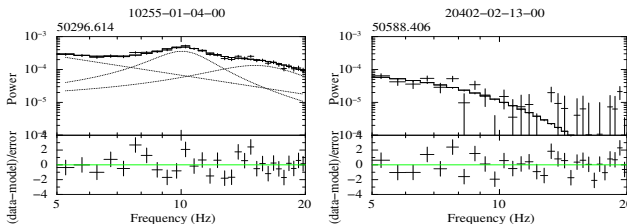


図 6: パワースペクトルのフィット結果(5-20Hz)

図 6(左)は、QPO の見られたパワースペクトルを power-law と gaussian モデル、もしくは lorentz モデルで評価した。ここから、gaussian, lorentz の物理量であるピークの中心周波数 F_c 、ピーク幅 $width$ 、光子量 $norm$ および振幅 rms^2 を求めた。図 6(右)は、QPO の見られなかったパワースペクトルを cutoffpl モデルで評価し、振幅 rms^2 を求めた。

図 7 は、全ての観測データについて、スペクトル解析と同様にパラメータの時間変化を表示したものである。これから、QPO が見られる観測日は振幅 rms^2 が大きいことがわかる。

5 考察とまとめ

解析の結果から得られたパラメータを図にし、それぞれの相関を調べた。

図 8(左)から 総 flux、nthc flux と振幅に相関があることがわかる。flux が大きくなると振幅も大きくなる。nthc flux と比べ、総 flux のほうが傾きが急になっていることがわかる。また、振幅が 2×10^{-3} を超えるものは全て QPO が

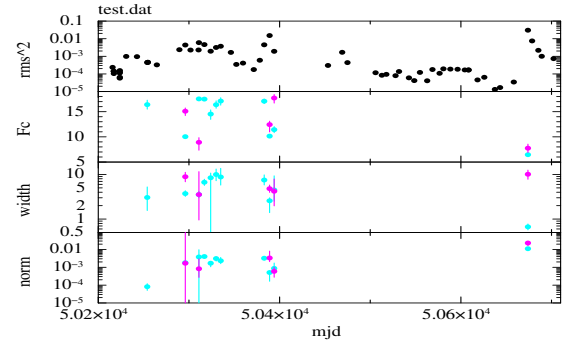


図 7: パワースペクトルの時系列パラメータ変化(上から振幅, 中心周波数 [メインピーク: 水色, サブピーク: 紫], ピーク幅, 光子量)

みられる。図 8(右)からは、総 flux、nthc flux ともに flux が小さいときには円盤の温度と右上がりの相関がみられるが、総 flux は 8×10^{-8} 、nthc flux は 2×10^{-8} を境に左上がりとなっており、その部分のみに QPO がみられる。

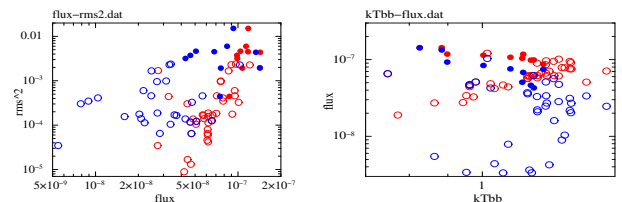


図 8: 横軸 flux[total](QPO あり(赤●), なし(赤○)), nthc(QPO あり(青●), なし(青○)) - 縦軸 rms^2 (左) 横軸 kTbb - 縦軸 flux[total](QPO あり(赤●), なし(赤○)), nthc(QPO あり(青●), なし(青○))](右)

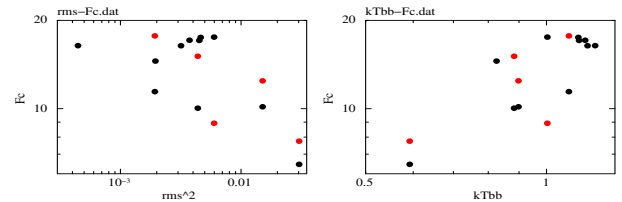


図 9: 横軸 rms^2 - 縦軸 QPO の F_c [メインピーク(黒), サブピーク(赤)](左) 横軸 kTbb - 縦軸 QPO の F_c [メインピーク(黒), サブピーク(赤)](右)

図 9(左)を見ると、振幅が大きくなるにつれて QPO の中心周波数が小さくなっていることがわかる。また、図 9(右)からは円盤の温度上昇とともに QPO の中心周波数が大きくなる相関がみられる。

以上より、それぞれのパラメータはある程度の相関がみられる。つまり、ブラックホールの時間変動と X 線スペクトルには密接な関係があることがわかる。

References

- [1] ブラックホール天文学 嶺重慎 P40,142
- [2] <https://heasarc.gsfc.nasa.gov/docs/xte/xte2.html>
- [3] Orosz, J. A., & Bailyn, C. D. 1997, ApJ, 477, 876
- [4] Hjellming, R. M., & Rupen, M. P. 1995, Nature, 375, 464
- [5] Sobczak, 2000, ApJ, 531, 537
- [6] Kubota A. et al, 2001, ApJ, 560 ,147
- [7] <https://heasarc.gsfc.nasa.gov/xanadu/xspec/manual/node127.html>
- [8] <https://heasarc.gsfc.nasa.gov/lheasoft/ftools/fhelp/powspec.txt>